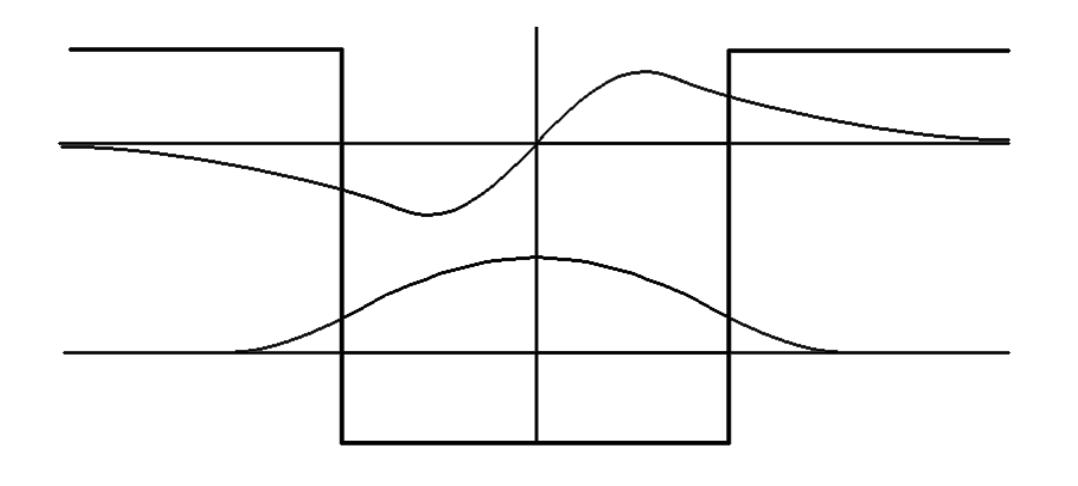
Атомная физика

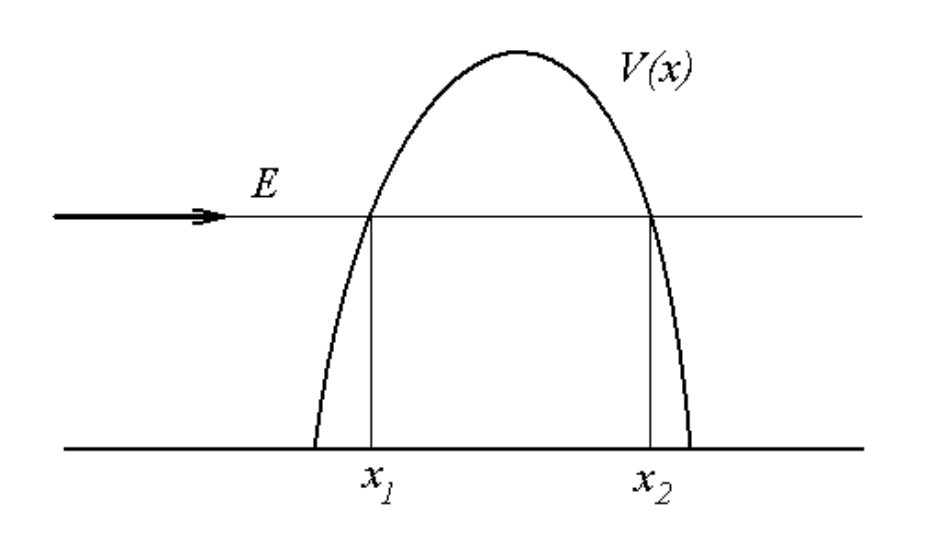
Лекция 6

проф. Попов Александр Михайлович

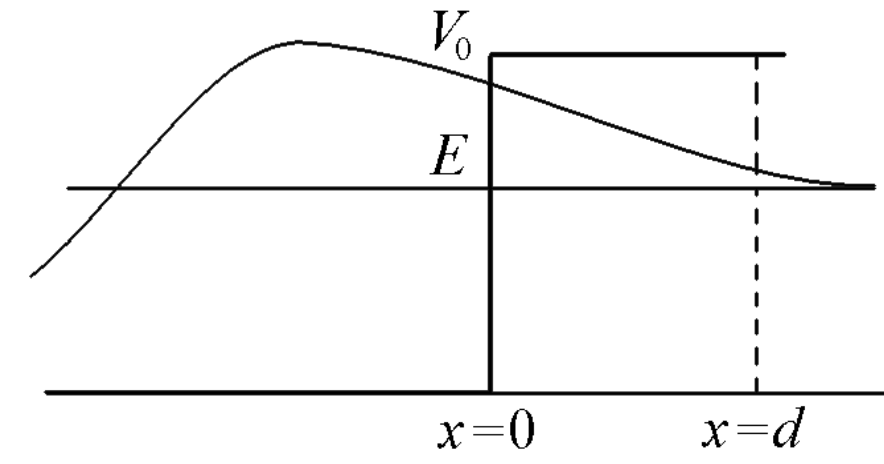
Туннельный эффект

Частица может находиться в области классически запрещенного движения





$$\psi(x) \sim \exp(-\kappa x)$$
 $\kappa = \sqrt{2m(V_0 - E)/\hbar^2}$



$$D \sim \left| \psi(x = d) \right|^2 \sim \exp(-2\kappa d) = \exp\left(-\frac{2}{\hbar} \sqrt{2m(V_0 - E)} d\right)$$

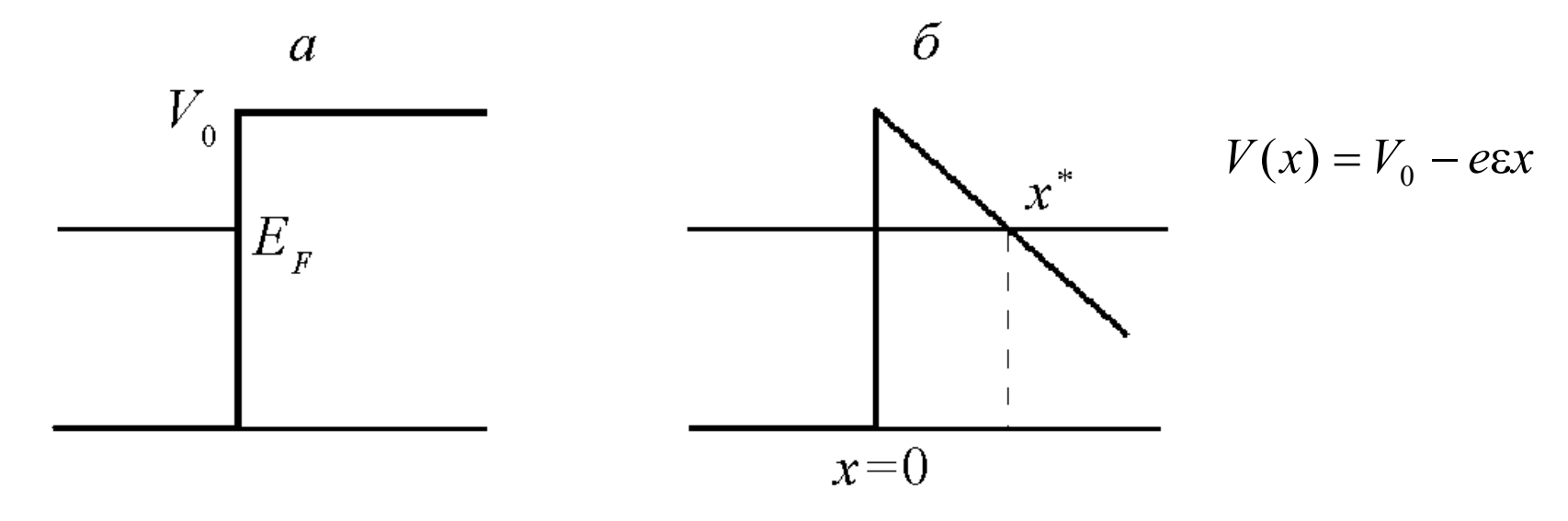
$$D \sim \exp\left(-\frac{2}{\hbar} \int_{x_1}^{x_2} \sqrt{2m(V(x) - E)} dx\right)$$

Туннельный эффект II

- 1) Автоэлектронная эмиссия
- 2) α распад атомных ядер
- 3) Туннельная ионизация атомов в лазерном поле
- 4) Туннельный микроскоп

Автоэлектронная эмиссия

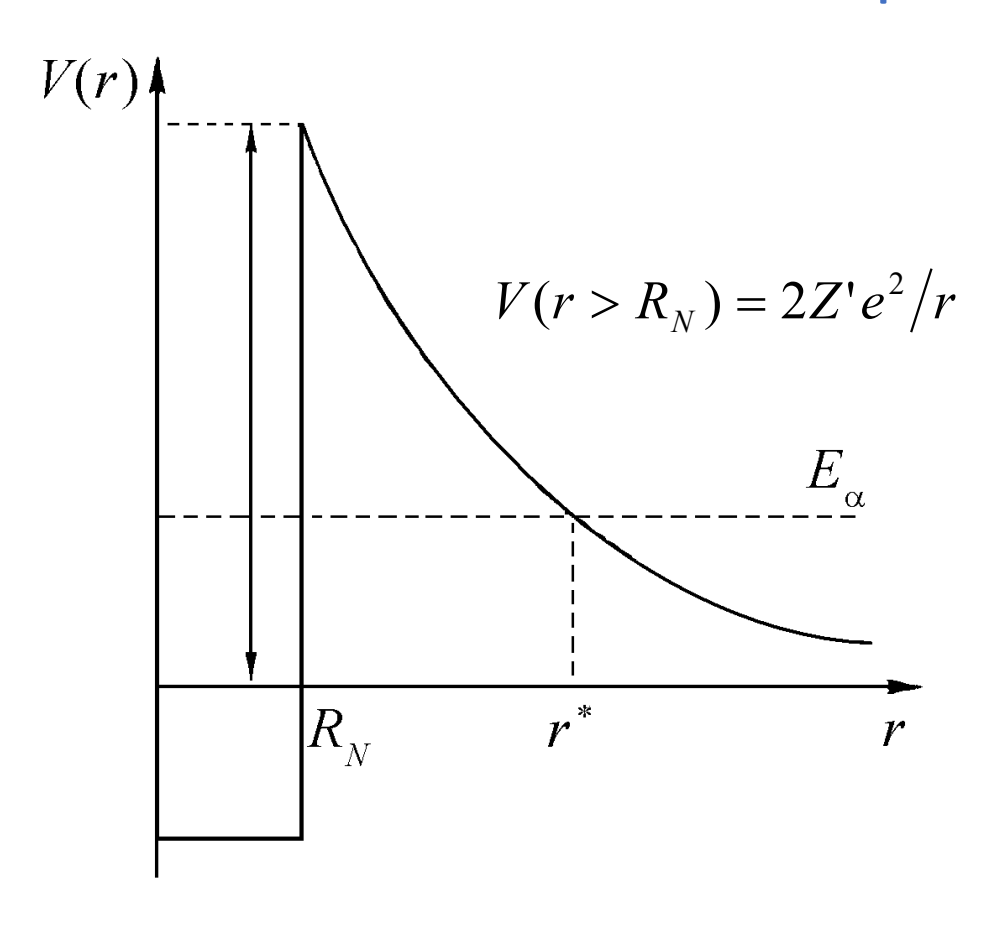
Термо- и автоэмиссия (Р.Вуд, 1897; Р.Фаулер и Л.Нордхейм, 1928-29).



$$D \sim \exp\left(-\frac{2}{\hbar} \int_{0}^{x^{*}} \sqrt{2m(V_{0} - E_{F} - e\varepsilon x)} dx\right)$$
$$V_{0} - E_{F} = e\varepsilon x^{*}$$

$$j \sim D \sim \exp\left(-\frac{4}{3} \frac{\sqrt{2mA_e^3}}{e\hbar\varepsilon}\right)$$

α - распад атомных ядер



Г.Гамов, 1927

$$D \sim \exp\left(-\frac{2}{\hbar} \int_{R_N}^{r^*} \sqrt{2M_{\alpha} \left(\frac{2Z'e^2}{r} - E_{\alpha}\right)} dr\right) \qquad Z' = Z - 2$$

Классическая точка поворота $r^* = 2Z'e^2/E_{\alpha}$

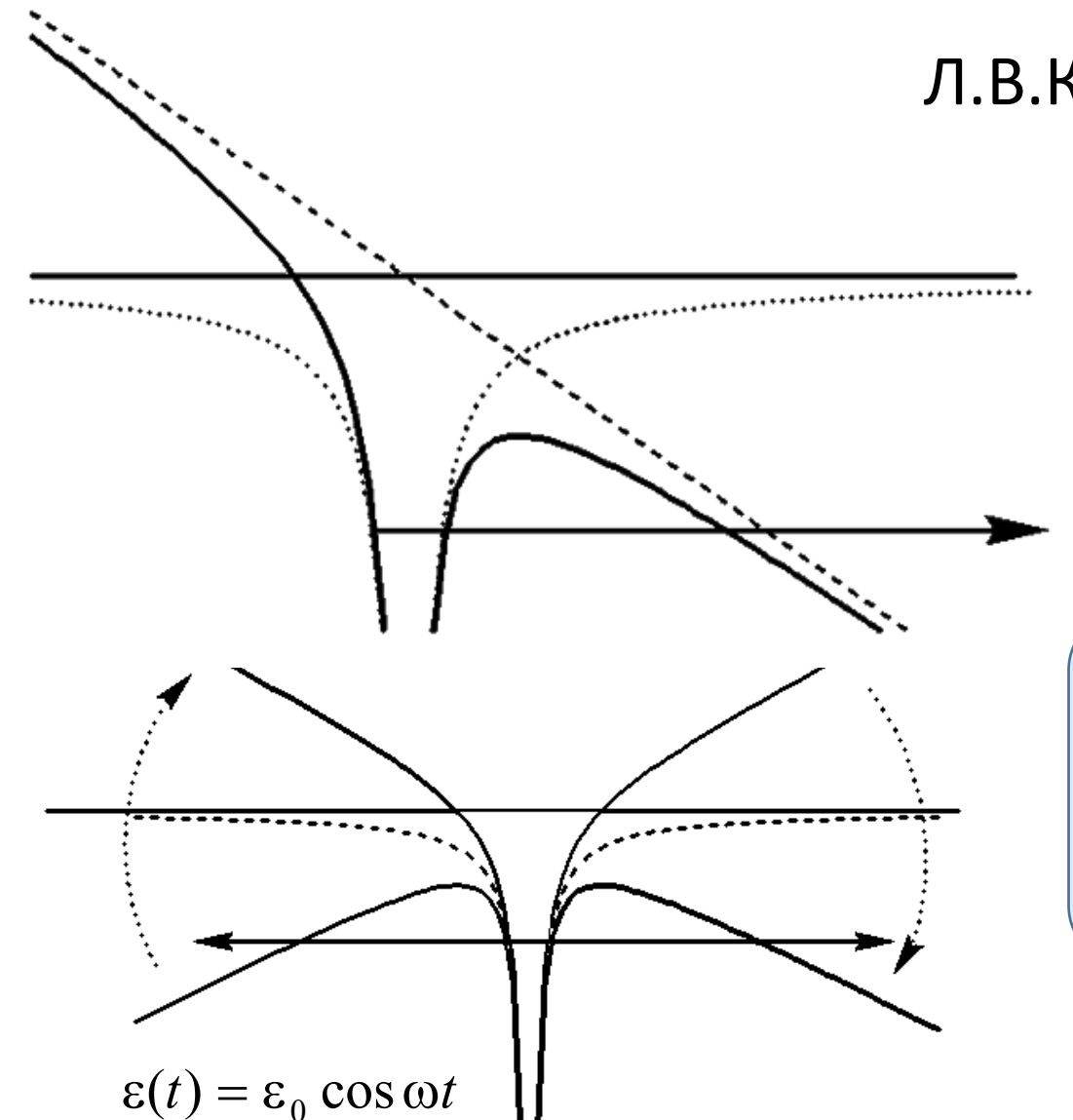
Вычисление интеграла $\int \sqrt{1-1/x} dx$ $x = \sin^2 \xi$

Если
$$R_N << r^*$$
 $D \sim \exp\!\left(-rac{4\pi Z' e^2}{\hbar v_lpha}
ight)$ $v_lpha = \sqrt{2E_lpha/M_lpha}$

Эксперимент: Закон Гейгера-Неттола (1911)

$$\lg(T_{1/2}) = C + \frac{ZB}{\sqrt{E_{\alpha}}}$$

Туннельная ионизация атомов в лазерном поле



$$V(x) = V_a(x) - e\varepsilon x$$

$$w_i \sim D \sim \exp\left(-\frac{4}{3} \frac{\sqrt{2mI^3}}{e\hbar \varepsilon_0}\right)$$

Параметр Келдыша
$$\gamma = \frac{\omega \sqrt{2mI}}{e\varepsilon_0} << 1$$

 $\gamma < 1$ – туннельный эффект

 $\gamma > 1$ – многоквантовый фотоэффект

Эксперимены С.Л.Чина (1985)

Control voltages for piezotube Tunneling Distance control current amplifier and scanning unit Tip Tunneling voltage Data processing and display

Туннельный микроскоп

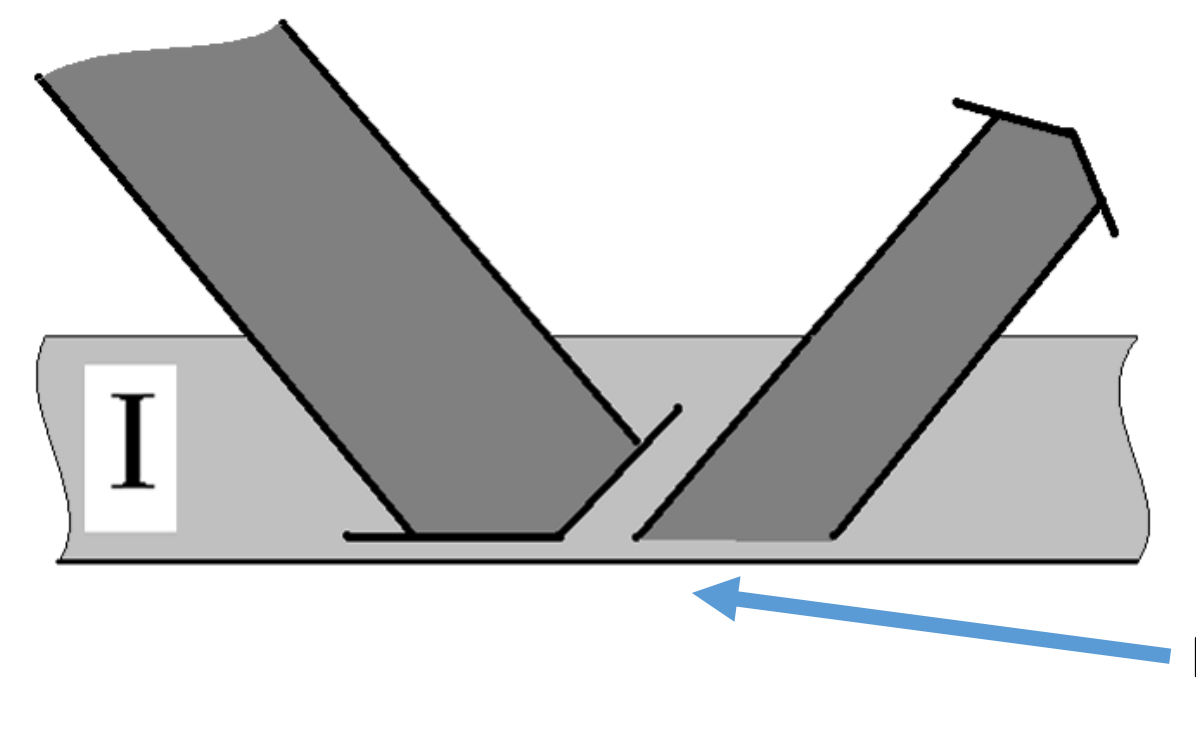
Г.Биннинг и Г. Рорер (1982)

Разрешающая способность микроскопа достигает величины порядка одного ангстрема вдоль поверхности образца и сотых долей ангстрема по высоте рельефа

Туннельный ток

(a)

- (b) Постоянный ток Траектория движения зонда
- 1) Возможность исследовать рельеф поверхности с ангстремным разрешением
- 2) Возможность детектировать отдельные атомы на поверхности



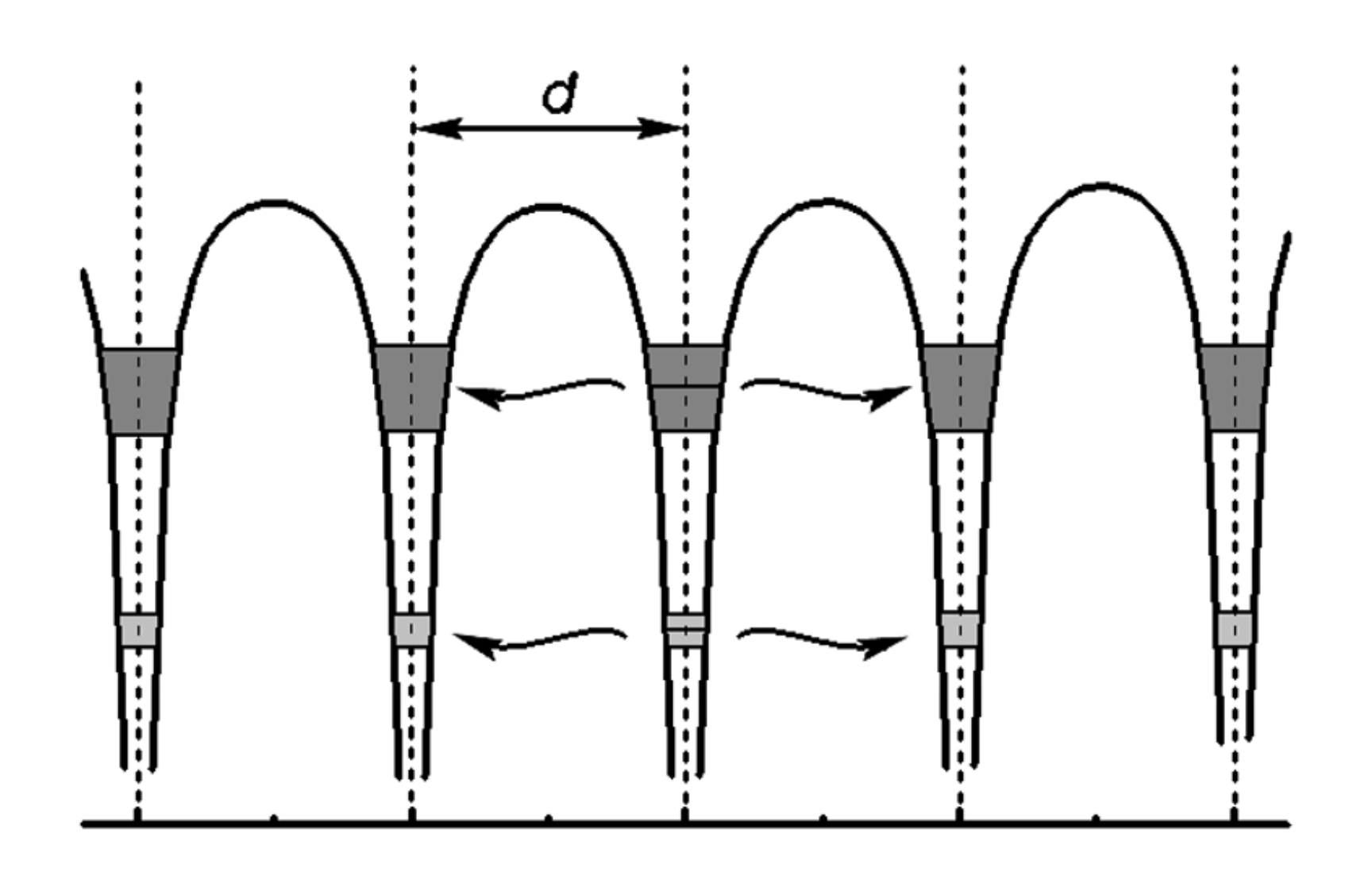
Туннельный эффект: оптическая аналогия

Полное внутренне отражение



Оптический аналог туннельного эффекта: (прохождение пучка света через систему стеклянных пластин, разделенных вакуумным зазором)

Зонная структура спектра твердых тел



 $\Delta E \tau \sim \hbar$

Гармонический осциллятор

- Колебания молекул
- 2) Колебаний кристаллической решетки
- 3) Моды электромагнитного поля
- Модели атомного ядра
- 5) Современная наноэлектроника

$$\left(\frac{d^2}{dx^2} - \frac{m^2\omega^2 x^2}{\hbar^2} + \frac{2mE}{\hbar^2}\right)\psi(x) = 0$$

$$V(x) = m\omega^2 x^2 / 2$$

$$\hat{H} = -\frac{\hbar^2}{2m} \frac{d^2}{dx^2} + \frac{m\omega^2 x^2}{2}$$

Стационарные состояния

$$\left(\frac{d^2}{dx^2} - \frac{m^2\omega^2x^2}{\hbar^2} + \frac{2mE}{\hbar^2}\right)\psi(x) = 0$$

$$\xi = x/a \qquad \varepsilon = E/E_0$$

$$a = \sqrt{\hbar/m\omega} \qquad E_0 = \hbar\omega/2 \qquad \left(\frac{d^2}{d\xi^2} - \xi^2 + \varepsilon\right)\psi(\xi) = 0$$

Асимптотическое поведение

$$\xi \to \pm \infty$$

$$\frac{d^2 \psi}{d\xi^2} - \xi^2 \psi \approx 0 \qquad \longrightarrow \qquad \psi \sim \exp(-\xi^2/2)$$

$$\psi(\xi) = v(\xi) \exp(-\xi^2/2)$$
 $v'' - 2\xi v' + (\varepsilon - 1)v = 0$

Гармонический осциллятор II

$$\psi(\xi) = v(\xi) \exp(-\xi^2/2)$$

$$v'' - 2\xi v' + (\varepsilon - 1)v = 0$$

Решение

$$E_n = \hbar\omega(n + 1/2)$$
 $n = 0,1,2,...$

$$n = 0,1,2,...$$

$$\psi_n(x) = N_n H_n(x/a) \exp(-x^2/2a^2) \qquad a = \sqrt{\hbar/m\omega}$$

$$a = \sqrt{\hbar/m\omega}$$

$$N_n = \frac{1}{\sqrt{2^n n! a \sqrt{\pi}}}$$

Полиномы Эрмита

$$H_n(\xi) = (-1)^n \exp(\xi^2) \frac{d^n}{d\xi^n} \exp(-\xi^2)$$

$$H_n(\xi) = (-1)^n \exp(\xi^2) \frac{d^n}{d\xi^n} \exp(-\xi^2) \qquad \int_0^\infty H_n(\xi) H_m(\xi) \exp(-\xi^2) d\xi = 2^n n! \sqrt{\pi} \delta_{mn}$$

нормировка

Явные выражения для первых нескольких полиномов

$$H_0(\xi) = 1$$

$$H_1(\xi) = 2\xi$$

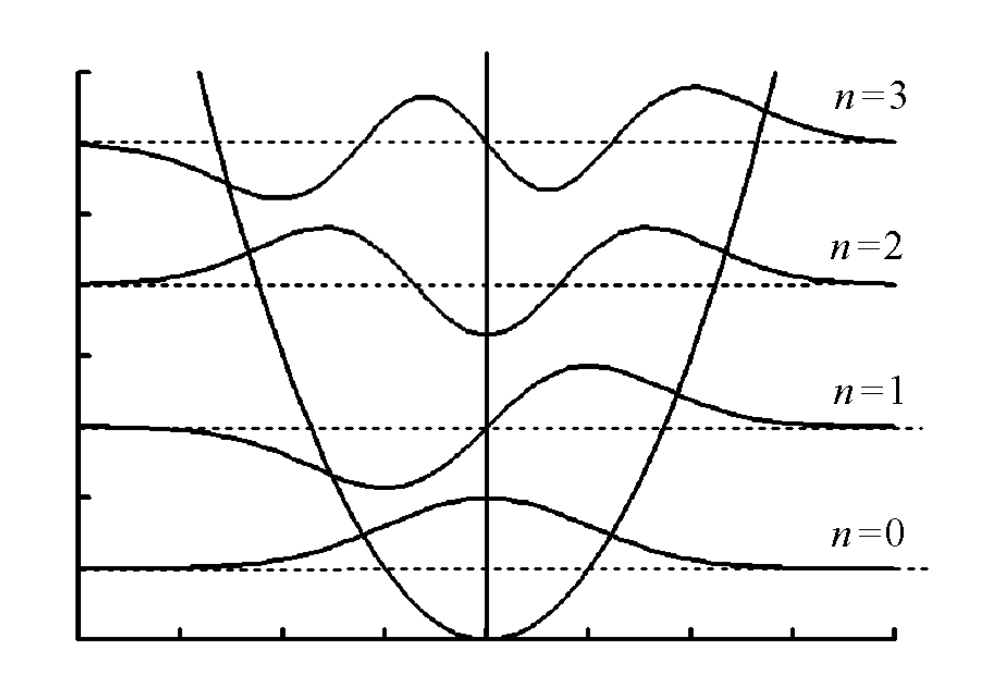
$$H_2(\xi) = 4\xi^2 - 2$$

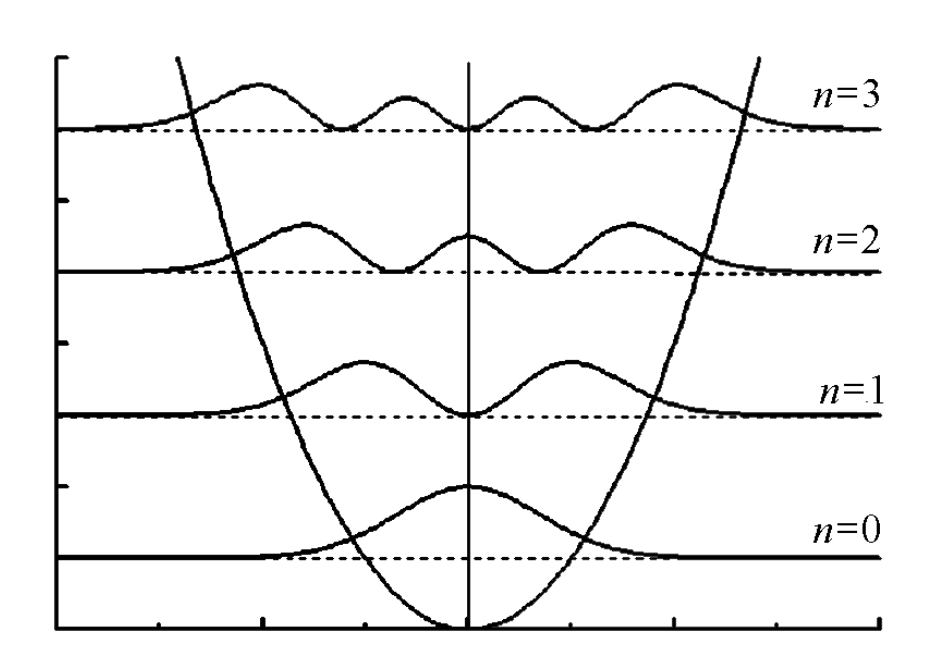
$$H_3(\xi) = 8\xi^3 - 12\xi$$

Некоторые свойства

- Эквидистантность спектра
- Четность состояний (коммутация с оператором четности)
- Энергия «нулевых» колебаний и соотношение неопределенностей

Гармонический осциллятор III





Средние значения некоторых величин в стационарных состояниях

$$\langle x \rangle = \int x |\psi(x)|^2 dx = 0 \qquad \langle T \rangle_n = \langle p^2 / 2m \rangle_n = \frac{1}{2m} \int \psi_n^* \hat{p}^2 \psi_n dx = \frac{\hbar \omega}{2} (n + 1/2)$$

$$\langle p \rangle = \int \psi^*(x) \hat{p} \psi(x) dx = 0 \qquad \langle V \rangle_n = \langle m \omega^2 x^2 / 2 \rangle_n = \frac{m \omega^2}{2} \int \psi_n^* x^2 \psi_n dx = \frac{\hbar \omega}{2} (n + 1/2)$$

$$\langle T \rangle_n = \langle V \rangle_n = E_n / 2$$

Нестационарные состояния осциллятора

Любое нестационанрное состояние может быть представлено как суперпозиция стационарных.

Например, имеем

$$\psi(x, t = 0) = \frac{1}{\sqrt{2}} (\psi_0(x) + \psi_1(x))$$

Временная эволюция

$$\psi(x,t) = \frac{1}{\sqrt{2}} \left(\psi_0(x) \exp\left(-i\frac{\omega t}{2}\right) + \psi_1(x) \exp\left(-i\frac{3\omega t}{2}\right) \right)$$

Плотность вероятности

$$\rho(x,t) = \left| \psi(x,t) \right|^2 = \frac{1}{2} \left| \psi_0(x) \right|^2 + \frac{1}{2} \left| \psi_1(x) \right|^2 + \frac{1}{2} \left| \psi_0(x) \psi_1(x) \cos \omega t \right|$$

Координата

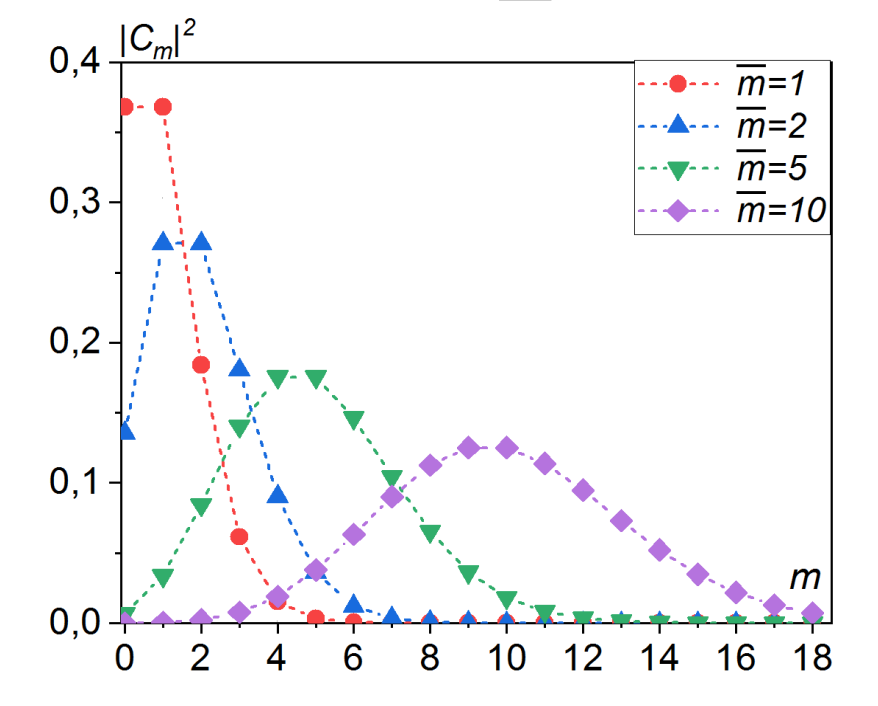
$$\langle x(t) \rangle = \int x \rho(x, t) dx = \int x \left(\frac{1}{2} |\psi_0(x)|^2 + \frac{1}{2} |\psi_1(x)|^2 + \psi_0(x) \psi_1(x) \cos \omega t \right) dx = x_{01} \cos \omega t$$
$$x_{01} = \int x \psi_0(x) \psi_1(x) dx = a / \sqrt{2} = \sqrt{\hbar / 2m\omega}$$

Понятие о когерентном состояния осциллятора

Осциллятор под действием вынуждающей резонансной силы

$$i\hbar \frac{\partial \psi(x,t)}{\partial t} = -\frac{\hbar^2}{2m} \frac{d^2 \psi}{dx^2} + \frac{m\omega^2 x^2}{2} \psi - exE_0 \cos(\omega t) \psi$$

$$\psi(x,t) = \sum_{n=0}^{\infty} C_n(t)\psi_n(x) \exp(-i\omega(n+1/2)t)$$



$$\left|C_m(t)\right|^2 = \frac{\overline{m}^m}{m!} \exp(-\overline{m})$$

$$\overline{m} = (\alpha t)^2 / 2$$

$$\alpha = e E_0 a / (2\hbar)$$

